

“Oscillazioni del B_s a LHCb”

S.Vecchi- INFN Ferrara, Italy

a nome della collaborazione LHCb

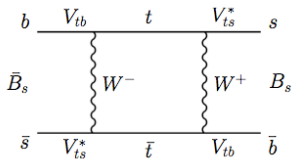
IFAE 2011 - Perugia, 27-29 Aprile 2011

Le oscillazioni $B_s^0 - \bar{B}_s^0$

CPV in $B_s^0 \rightarrow J/\psi\phi$: interferenza fra mixing & decadimento

$$\phi_s = \phi_M - 2\phi_D$$

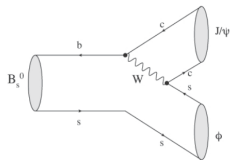
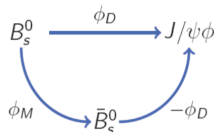
Modello Standard: $\phi_s^{SM} \simeq -2\beta_s = -(0.0363 \pm 0.0017)$ rad



fase di mixing $\phi_M^{SM} = 2\arg(V_{ts}V_{tb}^*)$
 possibili contributi aggiuntivi di NP

$$\phi_s = \phi_s^{SM} + \Delta\phi^{NP}$$

Misure al Tevatron (CDF public note 10206 (2010) & D0 note 6098-CONF (2010))



contributo dominante $\bar{b} \rightarrow \bar{c}c\bar{s}$ (tree)
 fase di decadimento: $\phi_D = \arg(V_{cs}V_{cb}^*)$
 + contributo minore dovuto a diagrammi a "pinguino"

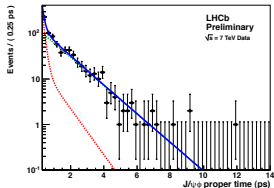
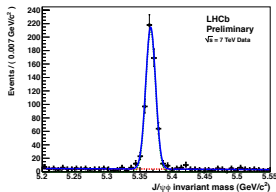
- Selezione del segnale e di canali di controllo: LHCb-CONF-2011-001
Misura delle vite medie $H_b \rightarrow J/\psi X$
- Analisi angolare dei canali $P \rightarrow VV$: LHCb-CONF-2011-002
analisi angolare di $B_d^0 \rightarrow J/\psi K^*$
analisi angolare, non “taggata”, di $B_s^0 \rightarrow J/\psi \phi$: misura di $\Delta\Gamma_s$
- Tagging: identificazione del b -flavour prodotto LHCb-CONF-2011-003
Verifica: misura della frequenza di mixing $B_{d/s}^0 - \bar{B}_{d/s}^0$ LHCb-CONF-2011-005,010
- Misura di $\sin(2\beta)$: LHCb-CONF-2011-004
Verifica simmetria CP nota: analisi “taggata”, dipendente dal tempo, di
 $B_d^0 \rightarrow J/\psi K_s^0$
- Misura di ϕ_s : LHCb-CONF-2011-006
analisi angolare, “taggata”, di $B_s^0 \rightarrow J/\psi \phi$

Selezione comune per tutti i decadimenti $H_b \rightarrow J/\psi X$: verifica e studio delle sistematiche ($B^+ \rightarrow J/\psi K^+$, $B^0 \rightarrow J/\psi K^{*0}$, $B_s^0 \rightarrow J/\psi \phi$, $B_d^0 \rightarrow J/\psi K_S^0$, $\Lambda_b \rightarrow J/\psi \Lambda$)

- **dati 2010:** $\sqrt{s} = 7 \text{ TeV}$, $\mathcal{L} \sim 36 \text{ pb}^{-1}$
- **trigger:** di-muone, senza tagli IP (70%) (“life-time unbiased”)
singolo-muone, con tagli IP (“life-time biased”)
- off-line: **$t > 0.3 \text{ ps}$** per rimuovere il picco di fondo “prompt”
- ottima **risoluzione di massa** ($\sigma_m \sim 7\text{--}10 \text{ MeV}$),
piccola contaminazione di fondo
- Dai dati stessi determinazione di:
 - **Risoluzione temporale** dal picco “prompt”:
 $\langle \sigma_t \rangle \sim 50 \text{ fs}$
 - **Accettazione temporale** per gli eventi con trigger
“biased”:

$$\epsilon(t) = \frac{N.\text{biased\&unbiased}}{N.\text{unbiased}}$$

$B_s^0 \rightarrow J/\psi \phi$: $t > 0.3 \text{ ps}$ (S/B=12.5)



Usando i soli eventi selezionati da trigger “unbiased”:

$t > 0.3\text{ps}$			
canale	ev. segnale	LHCb $\tau[\text{ps}]$	PDG $\tau[\text{ps}]$
$B^+ \rightarrow J/\psi K^+$	6741 ± 85	$1.689 \pm 0.022 \pm 0.047$	1.638 ± 0.011
$B^0 \rightarrow J/\psi K^{*0}$	2668 ± 58	$1.512 \pm 0.032 \pm 0.042$	1.525 ± 0.009
$B_s^0 \rightarrow J/\psi \phi$ ¹	570 ± 24	$1.447 \pm 0.064 \pm 0.056$	$1.472^{+0.024}_{-0.026}$
$B_d^0 \rightarrow J/\psi K_S^0$	838 ± 31	$1.558 \pm 0.056 \pm 0.022$	1.525 ± 0.009
$\Lambda_b \rightarrow J/\psi \Lambda$	187 ± 16	$1.353 \pm 0.108 \pm 0.035$	$1.391^{+0.038}_{-0.037}$

Sistematica principale: incertezza sulle funzioni di accettazione temporale (migliorabile).

Con i dati del 2011 le misure potranno essere competitive con le medie mondiali.

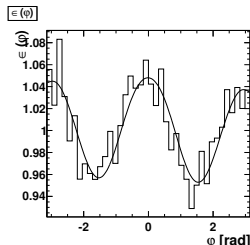
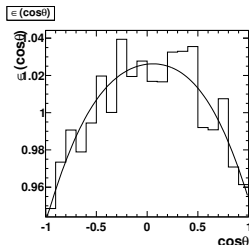
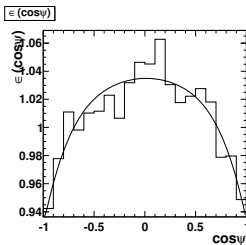
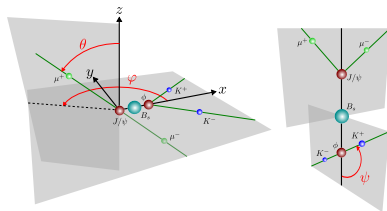
¹fit con singola esponenziale: $\Delta\Gamma_s = 0$

Nei decadimenti $P \rightarrow VV$ sono possibili diversi stati di polarizzazione: ($\ell = 0, 1, 2$)
 Nel caso di $B_s^0 \rightarrow J/\psi \phi$ essi corrispondono a 2 possibili autovalori di CP ($-1, +1$).

Separazione statistica con l'analisi angolare
 ($\cos \theta, \varphi, \cos \psi$) riferimento di trasversità.

Correzione per accettazione (detector & tagli di selezione):

- mappa 3D dal MonteCarlo
- Proiezioni 1D della accettazione angolare: correzioni entro $\pm 5\%$

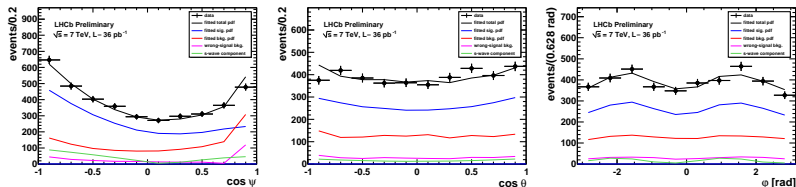


Verifica: misura delle ampiezze di polarizzazione di $B^0 \rightarrow J/\psi K^{*0} : P \rightarrow VV$

fit 5D ($m, t, \cos \theta, \varphi, \cos \psi$)

Parametrizzazione del fondo adattata sugli eventi nelle sidebands massa (S/B:3.4)

Contributo di $K\pi$ non risonante (S-wave) al segnale $5 \pm 2\%$

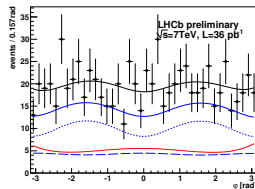
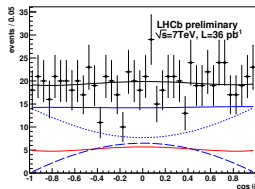
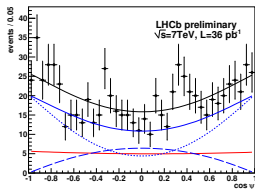


$t > 0.3\text{ps}$		
parametro	LHCb (preliminare)	BaBar PRD 76, 031002
$ A_{ } ^2$	$0.252 \pm 0.020 \pm 0.016$	$0.211 \pm 0.010 \pm 0.006$
$ A_{\perp} ^2$	$0.178 \pm 0.022 \pm 0.017$	$0.233 \pm 0.010 \pm 0.005$
$\delta_{ }$ [rad]	$-2.87 \pm 0.11 \pm 0.10$	$-2.93 \pm 0.08 \pm 0.04$
δ_{\perp} [rad]	$3.02 \pm 0.10 \pm 0.07$	$2.91 \pm 0.05 \pm 0.03$

Sistematiche principali: S-wave, accettazione, fondo.

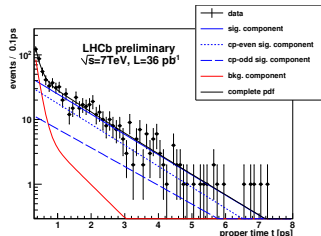
Risultati in buon accordo con le misure esistenti (BaBar), ma non ancora competitivi in termini di precisione (2011).

fit 5D ($m, t, \cos\theta, \cos\psi, \varphi$)

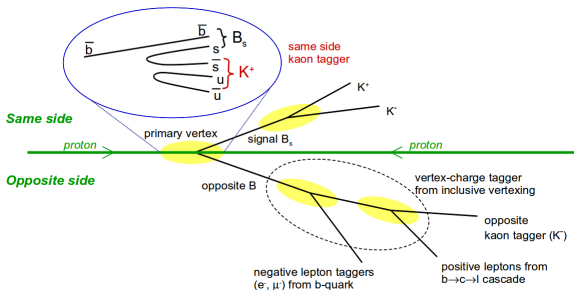
 HP: $\phi_s = 0$


$t > 0.3\text{ps}$	
parametro	LHCb (preliminare)
Γ_s [ps^{-1}]	$0.679 \pm 0.036 \pm 0.027$
$\Delta\Gamma_s$ [ps^{-1}]	$0.077 \pm 0.119 \pm 0.021$
$ A_0 ^2$	$0.528 \pm 0.040 \pm 0.028$
$ A_{\perp} ^2$	$0.263 \pm 0.056 \pm 0.014$
$\delta_{ }$ [rad]	$3.14 \pm 0.52 \pm 0.13$

CDF note 10206, $\mathcal{L}=5.2 \text{ fb}^{-1}$
 $\Delta\Gamma_s = (0.075 \pm 0.035 \pm 0.010) \text{ ps}^{-1}$



570 ± 24 eventi di segnale
 (trigger "unbiased")



- $\epsilon_{tag} = \frac{R+W}{R+W+U}$, $\omega = \frac{W}{R+W}$, potere di tagging: $\epsilon_{eff} = \epsilon_{tag} D^2 = \epsilon_{tag} (1 - 2\omega)^2$
- ϵ_{tag} si misura in ciascun canale, ω può essere misurato in canali di controllo
 - η : probabilità di mistag (evento per evento) calibrata sui dati
- Algoritmi di tagging ottimizzati sui dati 2010 ($\mathcal{L} \sim 35 pb^{-1}$) usando diversi canali: $B^0 \rightarrow D^{*-} \mu^+ \nu_\mu$, $B^+ \rightarrow J/\psi K^+$ e $B^0 \rightarrow J/\psi K^{*0}$
 - Solo OS e $SS\pi$: $\epsilon_{eff}^{OS} \sim 2\%$, $\epsilon_{eff}^{OS+SS\pi} \sim 2.8\%$
 - SSK: pochi eventi nel canale di controllo $B_s \rightarrow D_s^- \pi^+$ per calibrare (2011)

Probabilità di mistag η (evento per evento) calibrata sui dati $B^+ \rightarrow J/\psi K^+$ (verificata con $B^0 \rightarrow J/\psi K^{*0}$).

$$\omega = p_0 + p_1 \cdot (\eta - \langle \eta \rangle)$$

$$p_0 = 0.339 \pm 0.012 \pm 0.004 \text{ (OS)}$$

$$p_1 = 1.01 \pm 0.12 \pm 0.01$$

$$\langle \eta \rangle = 0.339$$

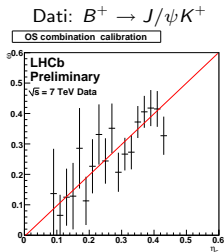
La calibrazione può essere esportata ai canali $B \rightarrow J/\psi X$

Tagging in $B_s^0 \rightarrow J/\psi \phi$ (OS):

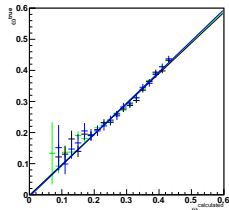
$$\epsilon_{tag} = 17\% \text{ (misurata)}$$

$$\omega_{eff} = 32 \pm 2\% \text{ (mistag evento per evento)}$$

$$\epsilon_{eff}^{OS} = 2.2 \pm 0.5\%$$



MonteCarlo: $B^+ \rightarrow J/\psi K^+$, $B^0 \rightarrow J/\psi K^{*0}$, $B_s^0 \rightarrow J/\psi \phi$



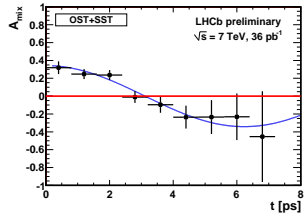
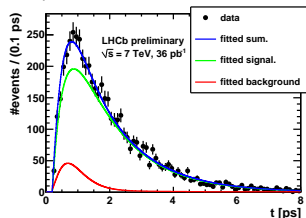
Verifica del flavour tagging in misure di oscillazione dipendente dal tempo.

Misura di Δm_d in $B^0 \rightarrow D^-(K^+\pi^-\pi^-)\pi^+$ (6k eventi di segnale)

- risoluzione temporale: $\langle \sigma_t \rangle = 49$ fs (MC)
- accettazione temporale (MC)
- probabilità di mistag evento per evento (parametri di calibrazione liberi): $\epsilon_{eff}^{OS} = 3.4 \pm 0.9\%$, $\epsilon_{eff}^{OS+SS\pi} = 4.3 \pm 1.0\%$

$$\Delta m_d = 0.499 \pm 0.032 \pm 0.003 \text{ ps}^{-1}$$

($\Delta m_d = 0.507 \pm 0.005 \text{ ps}^{-1}$ world average, PDG)



Misura di Δm_s in $B_s \rightarrow D_s^- (3)\pi^+$

(diversi modi di decadimento del D_s^- : totale 1.35k eventi di segnale)

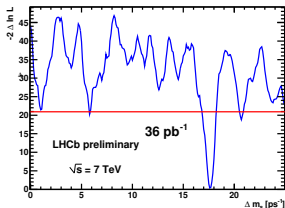
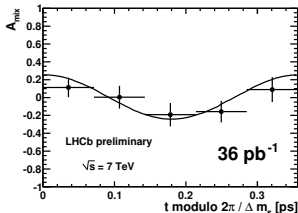
- risoluzione temporale evento per evento:
 $\langle \sigma_t \rangle = 36-44$ fs (dati, usando "prompt" $D_s \& \pi$)
- accettazione temporale (MC)
- probabilità di mistag evento per evento
 (calibrazione con $B^0 \rightarrow D^- \pi^+$) $\epsilon_{eff}^{OS} = 3.8 \pm 2.1 \%$

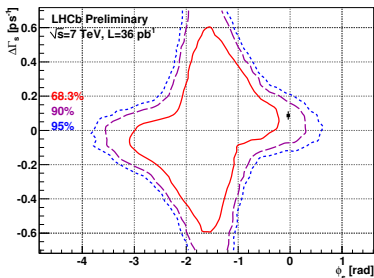
$$\Delta m_s = {}^a 17.63 \pm 0.11 \pm 0.04 \text{ ps}^{-1}$$

($\Delta m_s = 17.77 \pm 0.10 \pm 0.07 \text{ ps}^{-1}$ CDF, 2006)

Già raggiunta la precisione di CDF !!

^a ipotesi: $\Delta \Gamma_s = 0.1 \times \Gamma_s$





$\phi_s \in [-2.7, -0.5]$ rad al 68% CL

$\phi_s \in [-3.5, 0.2]$ rad al 95% CL

Modello Standard P -valore = 22% (1.2σ)^a

$$\phi_s^{SM} = -0.0363 \pm 0.0017 \text{ rad}$$

$$\Delta\Gamma_s = 0.087 \pm 0.021 \text{ ps}^{-1}$$

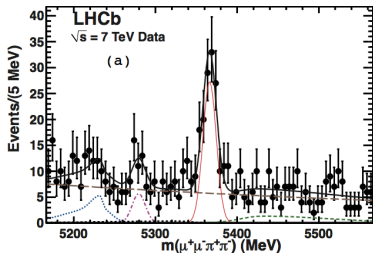
^aA.Lenz, U.Nierste, arXiv:1102.4274

- Segnale: 737 ± 28 (trigger "unbiased" & "biased", $t > 0.3$ ps), $\langle \sigma_t \rangle \sim 50$ fs
- fit 7D ($m, t, tag, \eta, \cos\theta, \cos\psi, \varphi$)
- Curve di livello di confidenza (Feldman-Cousins) nel piano ($\Delta\Gamma_s, \phi_s$)
 - Incertezza statistica+sistematica dovuta al tagging (calibrazione) piccola.
- Tutte le sistematiche considerate sono trascurabili rispetto l'incertezza statistica.

$B_s^0 \rightarrow J/\psi\phi$	LHCb $\mathcal{L}=36 \text{ pb}^{-1}$	CDF $\mathcal{L}=5.2 \text{ fb}^{-1}$
n.eventi	836	6500
$\langle \sigma_t \rangle$	50 fs	100 fs
ϵ_{eOS}	$2.2 \pm 0.5\%$	$1.2 \pm 0.2\%$
ϵ_{SSK}^{eff}	-	$3.5 \pm 1.4\%$
ϵ_{eff}	-	-

$\sigma(\phi_s) = 0.13$ rad con il solo aumento della statistica (1 fb^{-1} nel 2011)

Con il SSK tagging: miglioramento significativo



Segnale: $B_s^0 \rightarrow J/\psi f_0(980) = 111 \pm 14$
 fondi: $B^+ \rightarrow J/\psi K^+$, $B^0 \rightarrow J/\psi K^{*0}$, $B \rightarrow J/\psi \pi \pi$

$$R_{f_0/\phi} = \frac{\Gamma(B_s \rightarrow J/\psi f_0, f_0 \rightarrow \pi^+ \pi^-)}{\Gamma(B_s \rightarrow J/\psi \phi, \phi \rightarrow K^+ K^-)} = 0.252^{+0.046+0.027}_{-0.032-0.033}$$

Possibilità di misura di ϕ_s nel futuro
 $J/\psi f_0$ è puro autostato di CP: non necessita
 l'analisi angolare

Conclusioni

Con la statistica raccolta da LHCb nel 2010 ($\mathcal{L} \sim 36pb^{-1}$) è stato possibile compiere tutti i passi verso la misura della fase di mixing del B_s^0 :

- Misure delle vite medie di diversi canali $H_b \rightarrow J/\psi X$: in accordo con le misure precedenti
- Analisi angolare di $B^0 \rightarrow J/\psi K^{*0}$: verifica delle ampiezze di polarizzazione
- Analisi angolare non “taggata” di $B_s^0 \rightarrow J/\psi \phi$: $\Delta\Gamma_s = 0.077 \pm 0.119 \pm 0.021$
- Ottimizzazione del tagging (OS e $SS\pi$) e calibrazione della probabilità di mistag con i dati: $\epsilon_{eff}^{OS} = 2.2 \pm 0.5\%$ ($B_s^0 \rightarrow J/\psi \phi$)
- Misura della frequenza di oscillazione del B_s^0 : $\Delta m_s = 17.63 \pm 0.11 \pm 0.04 ps^{-1}$
- Analisi angolare “taggata” di $B_s^0 \rightarrow J/\psi \phi$: curve di livello di confidenza ($\Delta\Gamma_s, \phi_s$):
valore SM 1.2σ $\phi_s \in [-2.7, -0.5] rad$ al 68% CL

Ottime prospettive di miglioramento delle misure con i dati di LHCb del 2011: diverse misure competitive, migliore determinazione di ϕ_s

Backup

Selection of $H_b \rightarrow J/\psi X$

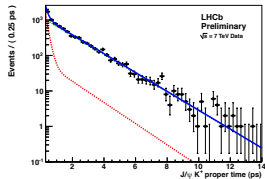
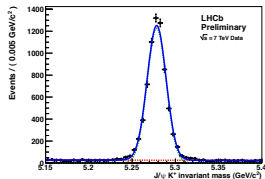
Trigger:

- L0: single muon ($p_T > 1.4$ GeV), di-muon ($p_{T,1} > 0.56$ GeV, $p_{T,2} > 0.48$ GeV)
- HLT1: candidate confirmation, HLT2: full reconstruction + event selection: lifetime “unbiased” and “biased” (IP cuts)

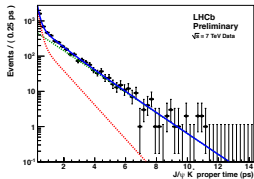
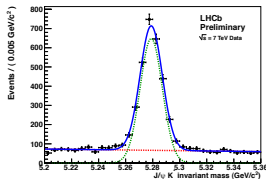
Selection:

- J/ψ : $p_T(\mu) > 0.5$ GeV, common vertex $\chi^2/ndf < 11$, $|m_{\mu\mu} - m_{J/\psi}|/\sigma_m < 4.2$
- $K^{*0} \rightarrow K^+\pi^-$: common vertex $\chi^2/ndf < 16$, $|m_{K\pi} - m_{K^{*0}}| < 70$ MeV, $p_T(K^{*0}) > 1$ GeV
- $B_d^0 \rightarrow J/\psi K^{*0}$: common vertex $\chi^2/ndf < 5$, $m_B \in [5100, 5450]$ MeV, $p_T(B^0) > 2$ GeV
- $\phi \rightarrow K^+K^-$: common vertex $\chi^2/ndf < 16$, $m_{KK} \in [1008, 1032]$ MeV, $p_T(\phi) > 1$ GeV
- $B_s^0 \rightarrow J/\psi\phi$: common vertex $\chi^2/ndf < 5$, $m_B \in [5200, 5550]$ MeV
- $\langle N_{PV} \rangle = 2.2$ choose the PV with best $\chi_{IP}^2(B)$, remove events $\chi_{PUIP}^2(B) > 50$

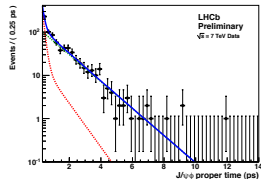
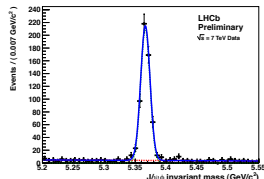
$$B^+ \rightarrow J/\psi K^+$$



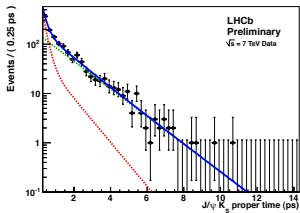
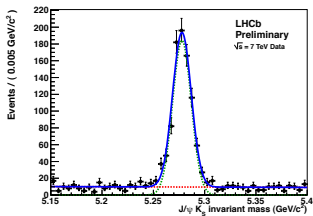
$$B^0 \rightarrow J/\psi K^{*0}$$



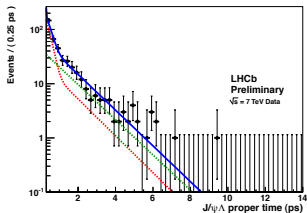
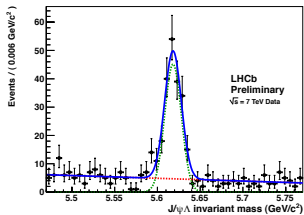
$$B_s^0 \rightarrow J/\psi \phi$$



$$B_d^0 \rightarrow J/\psi K_S^0$$



$$\Lambda_b \rightarrow J/\psi \Lambda$$



Amplitudes for $P \rightarrow VV$ (untagged)

$B_s^0 \rightarrow J/\psi\phi$ channel (hp: $\phi_s = 0$)

$$\begin{aligned} \frac{d^4\Gamma}{dt d\Omega} = & e^{-\Gamma_s t} [|A_0(0)|^2 f_1(\Omega) e^{-\frac{\Delta\Gamma_s}{2} t} + |A_{||}(0)|^2 f_2(\Omega) e^{-\frac{\Delta\Gamma_s}{2} t} \\ & + |A_{\perp}(0)|^2 f_3(\Omega) e^{+\frac{\Delta\Gamma_s}{2} t} + \cos \delta_{||} |A_0(0)| |A_{||}(0)| f_5(\Omega) e^{-\frac{\Delta\Gamma_s}{2} t}]. \end{aligned}$$

$B^0 \rightarrow J/\psi K^{*0}$ channel (hp: $\Delta\Gamma_d = 0$)

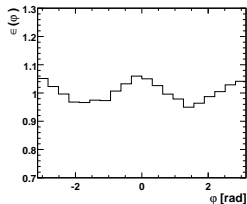
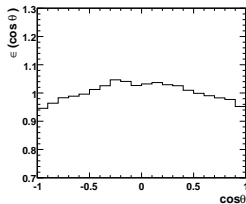
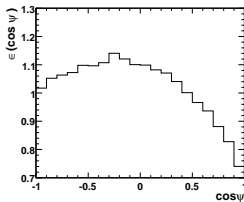
$$\begin{aligned} \frac{d^4\Gamma}{dt d\Omega} = & e^{-\Gamma_d t} [f_1(\Omega) |A_0(0)|^2 + f_2(\Omega) |A_{||}(0)|^2 + f_3(\Omega) |A_{\perp}(0)|^2 \\ & \pm f_4(\Omega) \sin(\delta_{\perp} - \delta_{||}) |A_{||}(0)| |A_{\perp}(0)| \\ & + f_5(\Omega) \cos \delta_{||} |A_0(0)| |A_{||}(0)| \\ & \pm f_6(\Omega) \sin \delta_{\perp} |A_0(0)| |A_{\perp}(0)|]. \end{aligned}$$

Here the upper (lower) sign is used for $K^+\pi^-$ ($K^-\pi^+$).

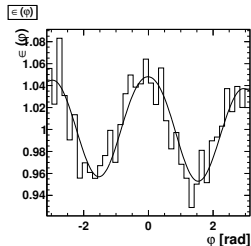
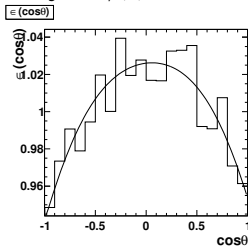
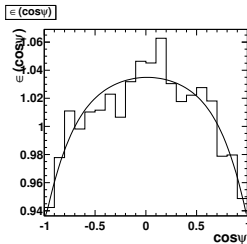
In contrast to the $B_s^0 \rightarrow J/\psi\phi$ decays the flavour specific decays provide access to both strong phases, $\delta_{||}$ and δ_{\perp} .

Angular acceptance for $B^0 \rightarrow J/\psi K^{*0}$ and $B_s^0 \rightarrow J/\psi \phi$

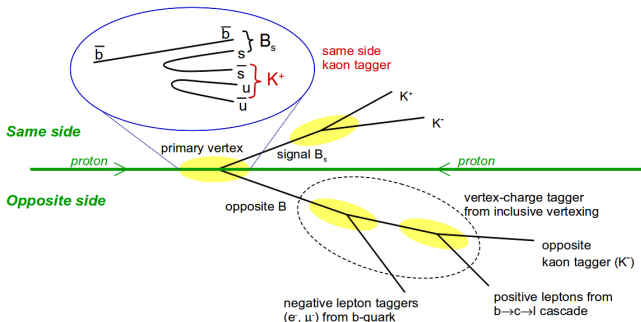
$B^0 \rightarrow J/\psi K^{*0}$ channel



$B_s^0 \rightarrow J/\psi \phi$ channel



Tag the initial B flavour



OS tagging: exploit the properties of the decays of the b -hadron **opposite** to the signal B

- μ, e ($b \rightarrow c l^- \bar{\nu}_l$), K ($b \rightarrow c \rightarrow s$), Q_{vtx} (inclusive secondary vertex reconstruction)

SS tagging: exploit the hadronization process of the **signal** B , or in the decays of excited states B^{**}

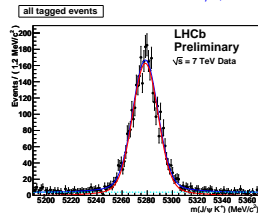
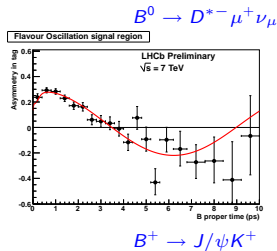
- $SS\pi$ (tag the B_d and B^+), SSK (tag the B_s)

Tagging performance optimized on 2010 data ($\sqrt{s} = 7\text{TeV}$, $\int \mathcal{L} \cdot dt \sim 35\text{pb}^{-1}$) with different flavour-specific channels.

AIM: to find the set of cuts that maximize the ϵ_{eff} of **each tagger** and of the **combination of taggers**.

Each set split randomly into two to avoid over-tuning.

- $B^0 \rightarrow D^{*-} \mu^+ \nu_{\mu}$ $\sim 48\text{k}$ signal events, $B/S \sim 0.3$
 → fit to time dependent B_d oscillation to measure ω
- $B^+ \rightarrow J/\psi K^+$ $\sim 11\text{k}$ signal events, $B/S \sim 0.065$ ($t > 0.3\text{ps}$)
 → compare the tag decision with the B^{\pm} charge, count W, R events → ω
- $B^0 \rightarrow J/\psi K^{*0}$ $\sim 3.3\text{k}$ signal events, $B/S \sim 15$
 → fit to time dependent B_d oscillation to measure ω (**cross-check**)
- $B_s^0 \rightarrow D_s^-(K^+ K^- \pi^-)(3)\pi$: control channel for SSK tagger studies: too little statistics to optimize (~ 1300).



OS	ϵ_{tag} (%)	ω (%)	ϵ_{eff} (%)
$B^0 \rightarrow D^{*-} \mu^+ \nu_{\mu}$	18.3 ± 0.2	33.6 ± 0.8	1.97 ± 0.18
$B^+ \rightarrow J/\psi K^+$	15.4 ± 0.3	32.2 ± 1.2	1.97 ± 0.31
$B^0 \rightarrow J/\psi K^{*0}$	15.8 ± 0.7	30.0 ± 6.6	2.52 ± 0.82
SS π +OS	ϵ_{tag} (%)	ω (%)	ϵ_{eff} (%)
$B^0 \rightarrow D^{*-} \mu^+ \nu_{\mu}$	28.9 ± 0.2	34.2 ± 0.8	2.87 ± 0.32
$B^+ \rightarrow J/\psi K^+$	23.0 ± 0.5	33.9 ± 1.1	2.38 ± 0.33
$B^0 \rightarrow J/\psi K^{*0}$	26.1 ± 0.9	33.6 ± 5.1	2.82 ± 0.87

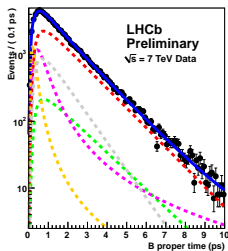
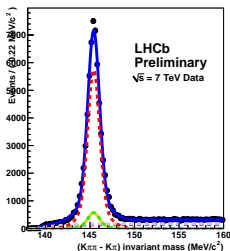
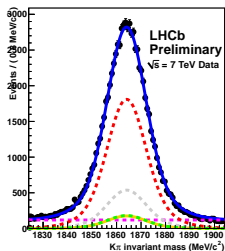
- Measured ω agree within the channels \rightarrow can be used in other channels for CP measurement (if trigger and selection are similar).
- Asymmetries of the tagging performance of B/\bar{B} mesons due to the detector efficiency/acceptance or to particle interaction with matter are found negligible within the present statistical error.

Analysis of the $B^0 \rightarrow D^{*-} \mu^+ \nu_\mu$ channel

Reconstruction of $D^{*-} \rightarrow \bar{D}^0 (\rightarrow K^- \pi^+) \pi^- + \mu^+$, described in LHCb-CONF-2010-012.

- no mass constraint due to the missing ν_μ
- B proper time corrected using the k -factor
- background sources:
 - B^+ decays $\rightarrow D^{*-} \mu^+ \nu_\mu n\pi$ ($10.2 \pm 1.2\%$, from MC)
 - true \bar{D}^0 originated from a b -hadron decays ($7.5 \pm 0.1\%$, from data)
 - true D^* originated from prompt c -hadron decays ($9.5 \pm 0.4\%$, from data)
 - pure combinatorics ($4.0 \pm 0.1\%$, from data).

Fitting the observable ($m_{K\pi\pi}$, $\Delta_m = m_{K\pi\pi} - m_{K\pi}$, t) of the *right* ($D^{*\pm} \mu^\mp$) and *wrong* ($D^{*\pm} \mu^\pm$) charge combinations the contributions can be disentangled.



Analysis of the $B^+ \rightarrow J/\psi K^+$ channel

Reconstruction of $B^+ \rightarrow J/\psi K^+$ decays with the same selection of LHCb-CONF-2011-001 (all trigger lines).

- select $t > 0.3 \text{ ps}$ to reject most of the “prompt” background
→ Remaining background: **long-living background** (from b -decay).

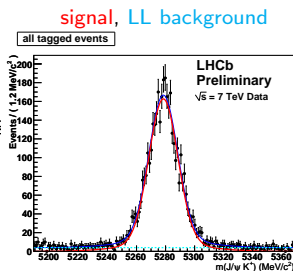
The two contribution can be separated exploiting the different mass (and time) distribution.

Fit parametrization:

$$\mathcal{P}(m, q) = (1 - f_B)S(m, q) + f_B \mathcal{B}^{\text{LL}}(m, q)$$

$$S^{\text{tag}}(q) = \begin{cases} \epsilon^S \cdot \{1 - \omega^S\} & \text{if } q = 1, \text{ right tag,} \\ \epsilon^S \cdot \omega^S & \text{if } q = -1, \text{ wrong tag,} \\ 1 - \epsilon^S & \text{if } q = 0, \text{ untagged,} \end{cases} \quad (1)$$

Similarly for the background, which has independent parameters



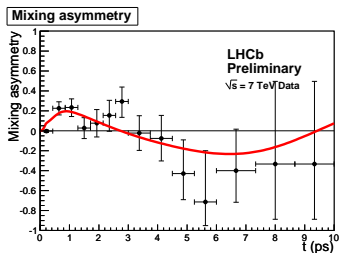
Analysis of the $B^0 \rightarrow J/\psi K^{*0}$ channel

The event selection for the $B^0 \rightarrow J/\psi K^{*0}$ channel is described in LHCb-CONF-2011-001.

Only events passing the “lifetime unbiased” trigger lines are kept.

- fit to **signal** oscillation to extract ω
- **background components:**
 - due to prompt J/ψ , peaking at $t = 0$
 - from b -hadron decays (with a lifetime)

they have independent, floating, tagging parameters



2

²Tagged events with SS π +OS, Δm_d =PDG

Calibration of the predicted mistag probability

After the calibration of the single taggers and of the OS

$B^+ \rightarrow J/\psi K^+$		
	$p_0 - \langle \eta \rangle$	p_1
OS	$-0.001 \pm 0.012 \pm 0.004$	$1.01 \pm 0.12 \pm 0.01$
SS π +OS	$0.000 \pm 0.010 \pm 0.004$	$1.00 \pm 0.11 \pm 0.01$

- The precisions found on p_0 and p_1 confirm expectation based on MC studies (LHCb-2009-20).
- The systematics were obtained with different fit assumptions on the η distributions of the signal and the background, studying the dependence on the B/S ratio and fitting the B lifetime with only “lifetime unbiased lines” triggered data.
- The precision on the calibration parameters should be propagated to the CP asymmetry fits.

Validation on data, using $B^0 \rightarrow J/\psi K^{*0}$:

$B^0 \rightarrow J/\psi K^{*0}$		
	$p_0 - \langle \eta \rangle$	p_1
SS π +OS	$-0.017 \pm 0.025 \pm 0.003$	$0.71 \pm 0.26 \pm 0.24$

Use *per-event mistag probability* with *free calibration parameters* (different trigger&selection with respect to the $B^+ \rightarrow J/\psi K^+$ channel.)

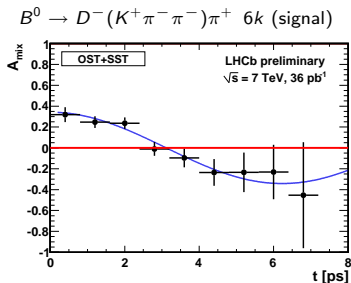
	ϵ_{eff}	$p_0 - \langle \eta \rangle$	p_1
OS	$3.4 \pm 0.9\%$	$-0.015 \pm 0.021 \pm 0.004$	$0.61 \pm 0.20 \pm 0.15$
SS π +OS	$4.3 \pm 1.0\%$	$-0.011 \pm 0.016 \pm 0.002$	$0.69 \pm 0.16 \pm 0.05$

$$\Delta m_d = 0.499 \pm 0.032 \pm 0.003 \text{ ps}^{-1}$$

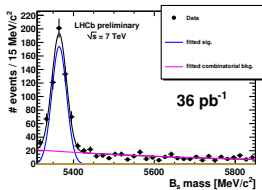
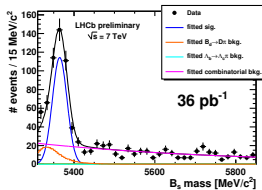
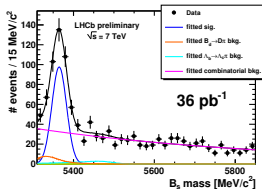
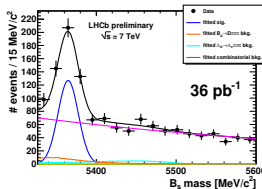
($\Delta m_d = 0.507 \pm 0.005 \text{ ps}^{-1}$ world average, PDG)

 Systematic uncertainties on Δm_d

source	$\Delta(\Delta m_d)$ [ps^{-1}]
proper time resolution [40-63] fs	0.000
proper time acceptance	0.002
variation of PDF(η)	0.000
floating fit parameters	0.001
double Gaussian mass signal PDF	0.001
z-scale ($\sim 0.1\%$)	0.0005
momentum scale ($\sim 0.1\%$)	0.0005
Sum	0.003



Combine several final states to add statistics:

 $B_s \rightarrow D_s^- (\phi \pi^-) \pi^+$: (515 ± 25 ev.)

 $B_s \rightarrow D_s^- (K^* K) \pi^+$: (338 ± 27 ev.)

 $B_s \rightarrow D_s^- (K^+ K^- \pi^-) \pi^+$: (283 ± 27 ev.)

 $B_s \rightarrow D_s^- (K^+ K^- \pi^-) 3\pi$: (245 ± 46 ev.)


$$\sigma_m = 18.1 \text{ MeV}/c^2 (D_s \pi), 12.7 \text{ MeV}/c^2 (D_s 3\pi)$$

$B_s^0 - \bar{B}_s^0$ mixing frequency

$$\Delta m_s = {}^3 17.63 \pm 0.11 \pm 0.04 \text{ ps}^{-1}$$

$$(\Delta m_s = 17.77 \pm 0.10 \pm 0.07 \text{ ps}^{-1} \text{ CDF, 2006})$$

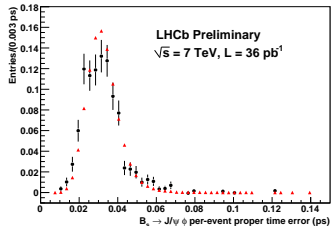
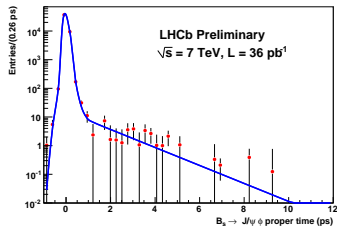
Systematic uncertainties on Δm_s

source	$\Delta \Delta m_s [\text{ps}^{-1}]$
proper time resolution $\mathcal{S}_{\sigma_t} = [1.2 - 1.4]$	0.006
proper time resolution model	0.001
proper time acceptance function	0.000
fixed parameters floating	0.003
diff. background shape in mass fit	0.010
phys. bkg mass templates	0.002
variation of η and σ_t PDFs	0.026
z-scale (0.1%)	0.018
momentum scale (0.1%)	0.018
$\Delta \Gamma_s = [0 - 0.2] \times \Gamma_s$	0.002
total systematic uncertainties	0.038

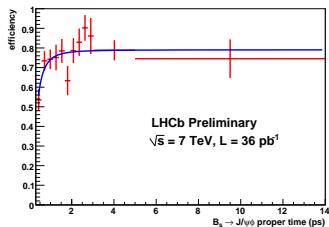
Nice prospects for an improvement of the Δm_s measurement in the (near) future

³Assumption: $\Delta \Gamma_s = 0.1 \times \Gamma_s$

Time acceptance and resolution for time dependent analysis of $B_s^0 \rightarrow J/\psi\phi$

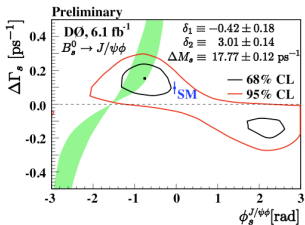


time acceptance for events triggered by “biased” lines:



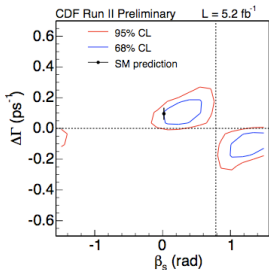
Comparison between ϕ_s results

D0 (3400 signal events, $\epsilon_{eff} = 2.5\%$ OS)

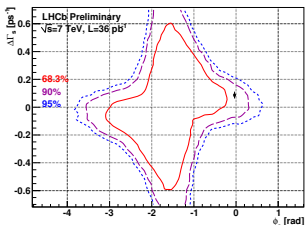


CDF: "S-wave contamination is $\leq 6.7\%$ @ 95% C.L. and can be neglected" LHCb (737 signal

CDF (6500 signal events, $\epsilon_{eff} = 4.7\%$ OS+SSK)
 P-value SM = 44%

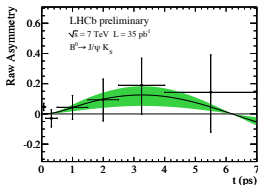
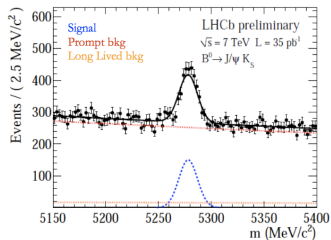


events, $\epsilon_{eff} = 2.2\%$ OS) P-value SM = 22%



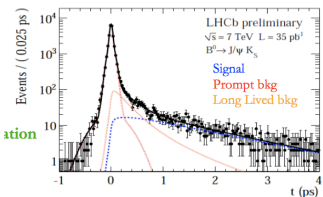
$\sin(2\beta)$ measurement in $B_d^0 \rightarrow J/\psi K_S^0$

- 280 eventi di segnali “taggati” (trigger “unbiased” & “biased”)
- uso della probabilità di mistag evento per evento (calibrata su $B^+ \rightarrow J/\psi K^+$ e verificata in $B^0 \rightarrow J/\psi K^{*0}$)



$$S_{J/\psi K_S^0} = 0.53^{+0.28}_{-0.29} \pm 0.07$$

$$\sin(2\beta) = 0.673 \pm 0.023 \text{ World average}$$



2Systematic uncertainties to S in absolute terms.

Source	uncertainty
tagger calibration	0.067
per-event mistags p.d.f.	0.012
Δm_d uncertainty, z scale	0.0017
proper time resolution	0.0085
high proptime acceptance	0.00065
biased events acceptance	0.0042
biased TIS events acceptance	0.0063
production asymmetry	0.016
total (sum in squares)	0.071